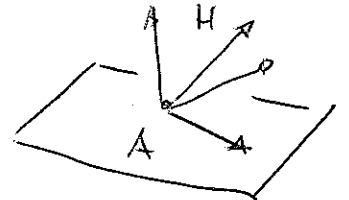
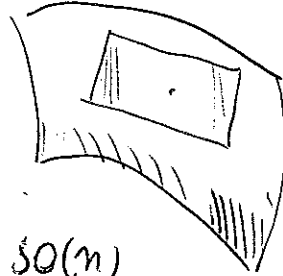


Ancora su $SO(n)$

Riprendiamo

$$f_*|_A (H) = A^T H + H^T A$$

Qual è la condizione
 per la quale H è "tangente" a $SO(n)$
 in A ?



f liscia, sommersiva...

In generale

sia α_0 t. che $f(\alpha_0) = 0$.

Sia $\alpha = \alpha(t)$
 $\dot{\alpha} = \dot{\alpha}(t)$

$\alpha = \alpha_0$
 $\dot{\alpha}(0) = \xi \in \mathbb{R}^{m+k}$
 $t \in I$

da $f(\alpha(t)) \equiv 0$ in I

segue $\dot{f}(\alpha(t)) \equiv 0$

ossia $\sum_i \frac{\partial f}{\partial x_i} \dot{\alpha}_i = 0$

in particolare in α_0 : $\sum f_{x_i} \xi_i = 0$

i.e.

$$\xi \in \ker f_*|_{\alpha_0}$$

Questo è lo "spazio tangente" a $f^{-1}(0)$ (in $\alpha_0 \in f^{-1}(0)$)

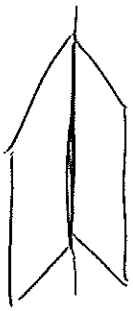
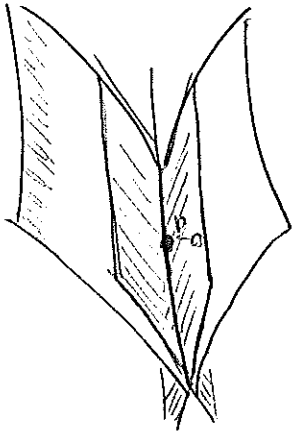
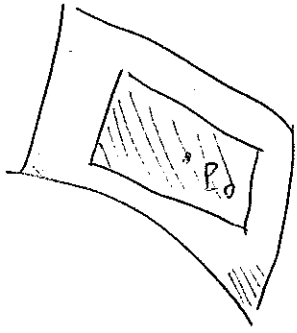
Si pensi ai corsi particolari, v. corsi di Analisi]

P_0 ξ

$$f_x^0(x-x_0) + f_y^0(y-y_0) = 0$$

ξ_1 ξ_2 XIII-1

retta tangente a P_0
 a $f(x,y) = 0$



prima funzione ad una sup: $f(x, y, z) = 0$

$$f'_x(x-x_0) + f'_y(y-y_0) + f'_z(z-z_0) = 0$$

ξ_1 ξ_2 ξ_3

$$\begin{cases} f'_x(x-x_0) + f'_y(y-y_0) + f'_z(z-z_0) = 0 \\ g'_x(x-x_0) + g'_y(y-y_0) + g'_z(z-z_0) = 0 \end{cases}$$

ξ_1 ξ_2 ξ_3

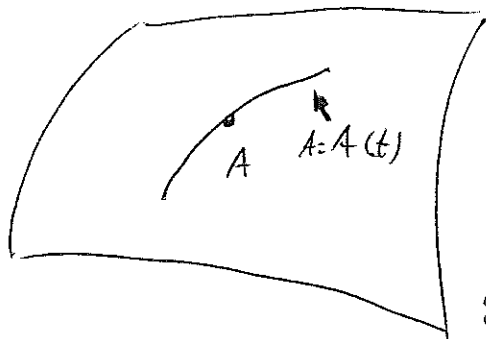
$$\begin{pmatrix} f'_x & f'_y & f'_z \\ g'_x & g'_y & g'_z \end{pmatrix} \begin{pmatrix} \xi_1 \\ \xi_2 \\ \xi_3 \end{pmatrix} = \begin{pmatrix} 0 \\ 0 \end{pmatrix}$$

\uparrow
 $(f'_*)_{(P_0)}$ |||
 ξ

(matrice di ())

Torniamo all'equazione su $SO(n)$

sia $A = A(t)$ come sopra, ma con $A(t) \in SO(n)$
 $\forall t \in I$



$SO(n)$

da $A^T(t)A(t) - I_n \equiv 0$

si ricava

$$\dot{A}^T A + A^T \dot{A} \equiv 0$$

$$(\dot{A}^T) = (\dot{A})^T$$

in A

$$\dot{A}(0) = H$$

$$f_*|_A(H) = H^T A + A^T H = 0$$

ovvero, in accordo con la discussione generale

$$\begin{cases} H \in \text{Ker } f_*|_A \\ \vdots \\ \vdots \end{cases}$$

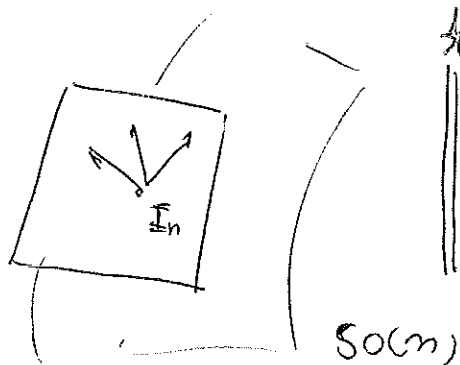
In particolare, se $A = I_n$, è

$$H^T + H = 0$$

i.e. $H^T = -H$

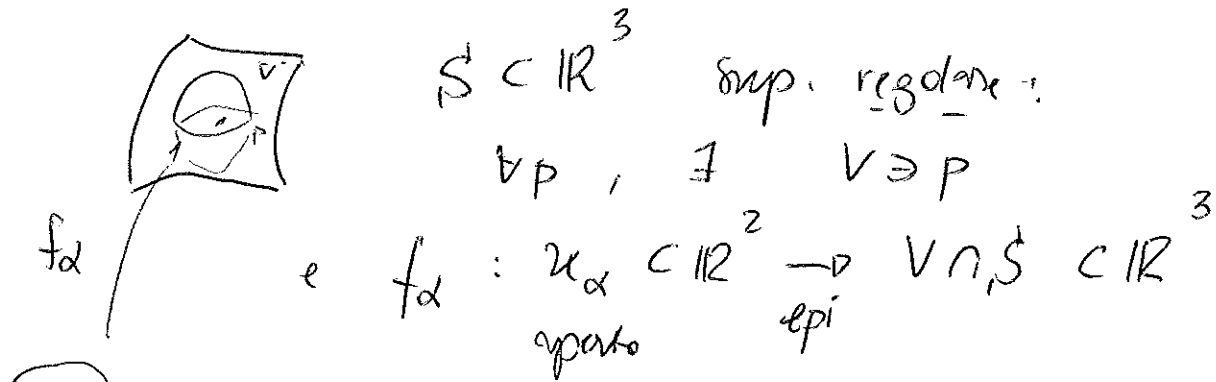
H antisimmetrica

Dunque:



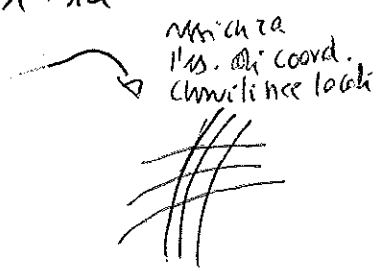
le matrici antisimmetriche costituiscono lo spazio tangente a $SO(n)$ nell'identità I_n .

* le superficie "immerse" in \mathbb{R}^3



1) f_α omeomorfismo differenziabile (top. molto)

2) $(f_\alpha)_* : T_q(U_\alpha) \rightarrow \mathbb{R}^3$
 iniettivo $\forall q \in U_\alpha$



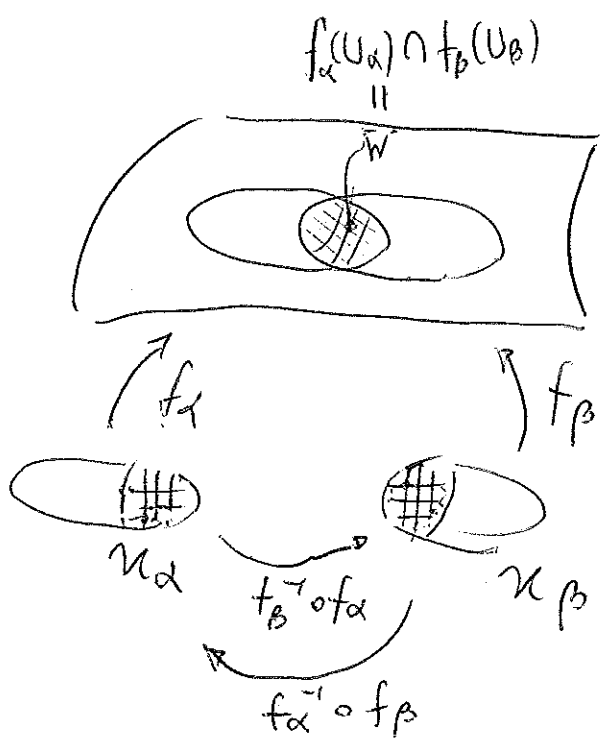
f_α : parametrizzazione

Fatto importante: [non lo dimostriamo: v. da Casimiro]

$f_\alpha : U_\alpha \rightarrow S$
 $f_\beta : U_\beta \rightarrow S$

f_* iniettivo: immersione

sono due par. t. che $f_\alpha(U_\alpha) \cap f_\beta(U_\beta) \equiv W \neq \emptyset$,



$f_\beta^{-1} \circ f_\alpha : f_\alpha^{-1}(W) \rightarrow \mathbb{R}^2$

$f_\alpha^{-1} \circ f_\beta : f_\beta^{-1}(W) \rightarrow \mathbb{R}^2$

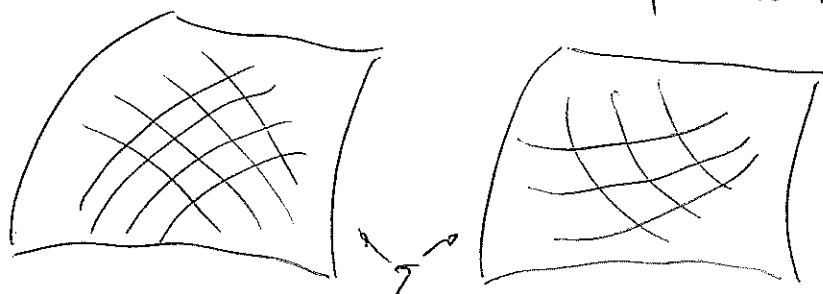
sono differenziabili (lisse)

[sono l'una l'inversa dell'altra]

||||| tenetli in mente, s'incollano da \mathbb{R}^3

* Osservazione Importante

nel corso di geometria si è svolto
sull'indipendenza dei vari concetti dalla
parametrizzazione scelta [questo perché si è insistito
nel lavorare con superficie
parametriche]



(che è comunque invariabilmente chiara)

Es: la curvatura Gaussiana K è indep.
dalla parametrizzazione scelta per Σ ?

Ovviamente sì: si ricordi che (curvature principali)
autovalori di S

$$K = \det(S) = \kappa_1 \kappa_2$$

↑ operatore di forma
(op. simmetrico su $T_p \Sigma$)

e \det compete ad un endomorfismo $T \in \text{End}(V)$
poiché è invariante per similitudine

$$\det T := \det m_{ee}(T)$$

se cambio base e' $m_{e'e'}(T) = \underbrace{m_{e'e}(I)}_M m_{ee}(T) \underbrace{m_{ee'}(I)}_{M^{-1}}$

$$\text{e } \det m_{e'e'}(T) = \det m_{ee}(T)$$

Da $\det(AB) = \det(A) \det(B)$ (B invert) $\text{e } \det(MAM^{-1}) = \dots$
 $\det (= \det(BA)) \qquad \qquad \qquad = \det(AM^{-1}M) = \det A$

In generale $P_C^T = P_C^T(x)$

polinomio caratteristico di $T \in \text{End}(V)$

$\bar{\lambda}$ invariante per similitudine

$$P_C^T(\lambda) = \det(T - \lambda I)$$

Di conseguenza, se $P_C^T(x)$ è completamente fattorizzabile math algebra
↓
 $m_a(\lambda_k)$

$$P_C^T(\lambda) = \prod_{i=1}^n (\lambda_i - \lambda) = \prod_{\lambda_k \text{ distinti}} (\lambda_k - \lambda)^{m_a(\lambda_k)}$$

autovalori
c.m. ripetuti con la loro molteplicità

anche gli autovalori sono invarianti per similitudine [spettro di T]

[per gli operatori diagonalizzabili, lo spettro, con le dovute molteplicità, è un invariante completo per similitudine - altrimenti no (teoria di Jordan)]

Tornando alla discussione geometrica, cambiando coordinate, non accade nulla proprio perché $\beta = -d\alpha$ è definito in modo intrinseco, e così lo sono i suoi autovalori (le curvature principali) e il suo det, la curvatura trascorsa K .
In altra modo, si ricordi che, rispetto a (x_u, x_v) , β è rappresentato dalla matrice di Weingarten, e cambiando coordinate si ottiene una matrice simile a quella iniziale.

Def. (provvisoria) (I)

varietà differenziabile n -dimensionale

C^∞
liscia

Sia M un insieme, munito di

$$f_\alpha : U_\alpha \subset \mathbb{R}^n \longrightarrow M$$

aperti f_α iniettiva $\forall \alpha$

(on 1) $\bigcup_{\alpha \in \mathcal{A}} f_\alpha(U_\alpha) = M$

2) $\forall \alpha, \beta$ tali che $f_\alpha(U_\alpha) \cap f_\beta(U_\beta) = W \neq \emptyset$

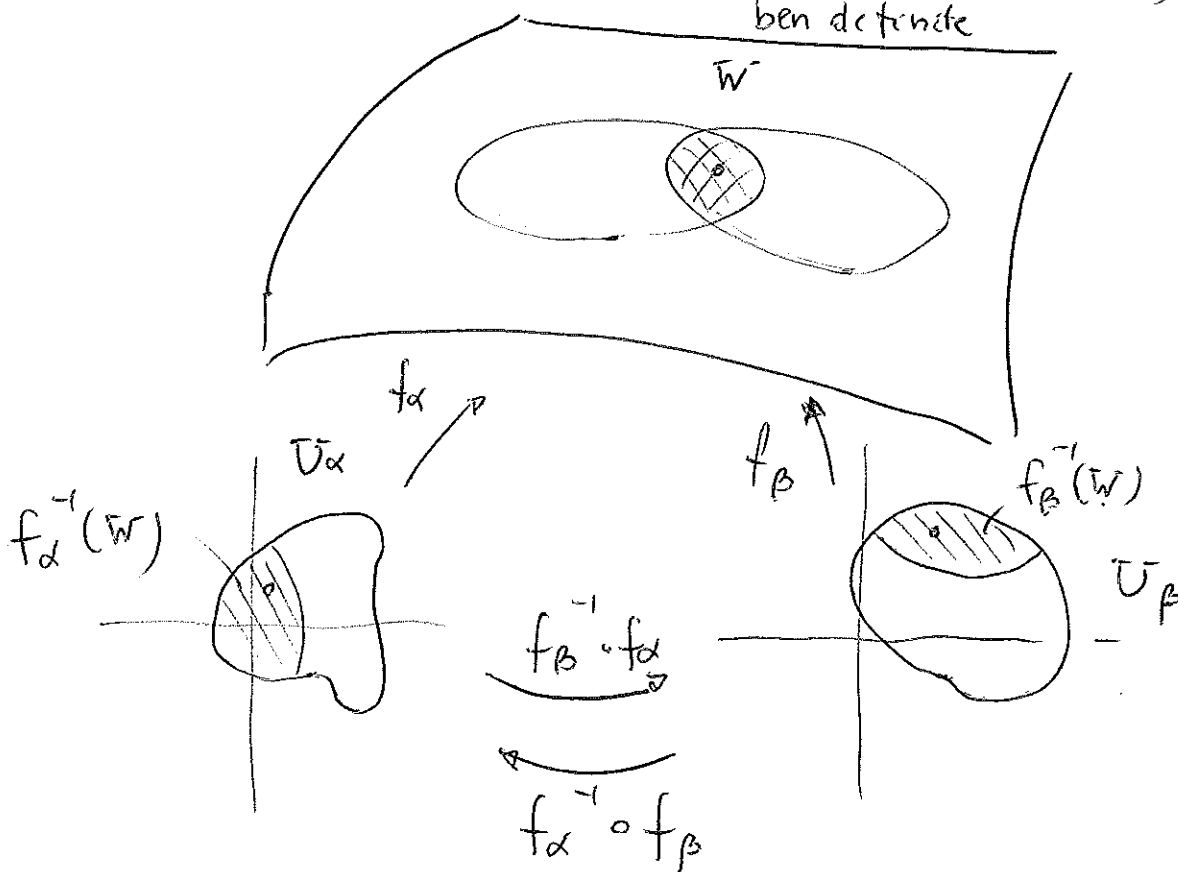
$f_\alpha^{-1}(W)$ e $f_\beta^{-1}(W)$ sono aperti in \mathbb{R}^n

tali che $f_\beta^{-1} \circ f_\alpha$, $f_\alpha^{-1} \circ f_\beta$ sono lisce

[lo chiediamo!]

l'iniettività di f_α
assicura che sono
ben definite

3) la famiglia
è maximale
risp. alle
due proprietà



$\{U_\alpha, f_\alpha\}_{\alpha \in \mathcal{I}}$ struttura differenziabile
liscia (Atlante)

(U_α, f_α) , $U_\alpha \ni P$ parametrizzazione
sistema di coordinate

$f_\alpha(U_\alpha)$: intorno coordinato di P .

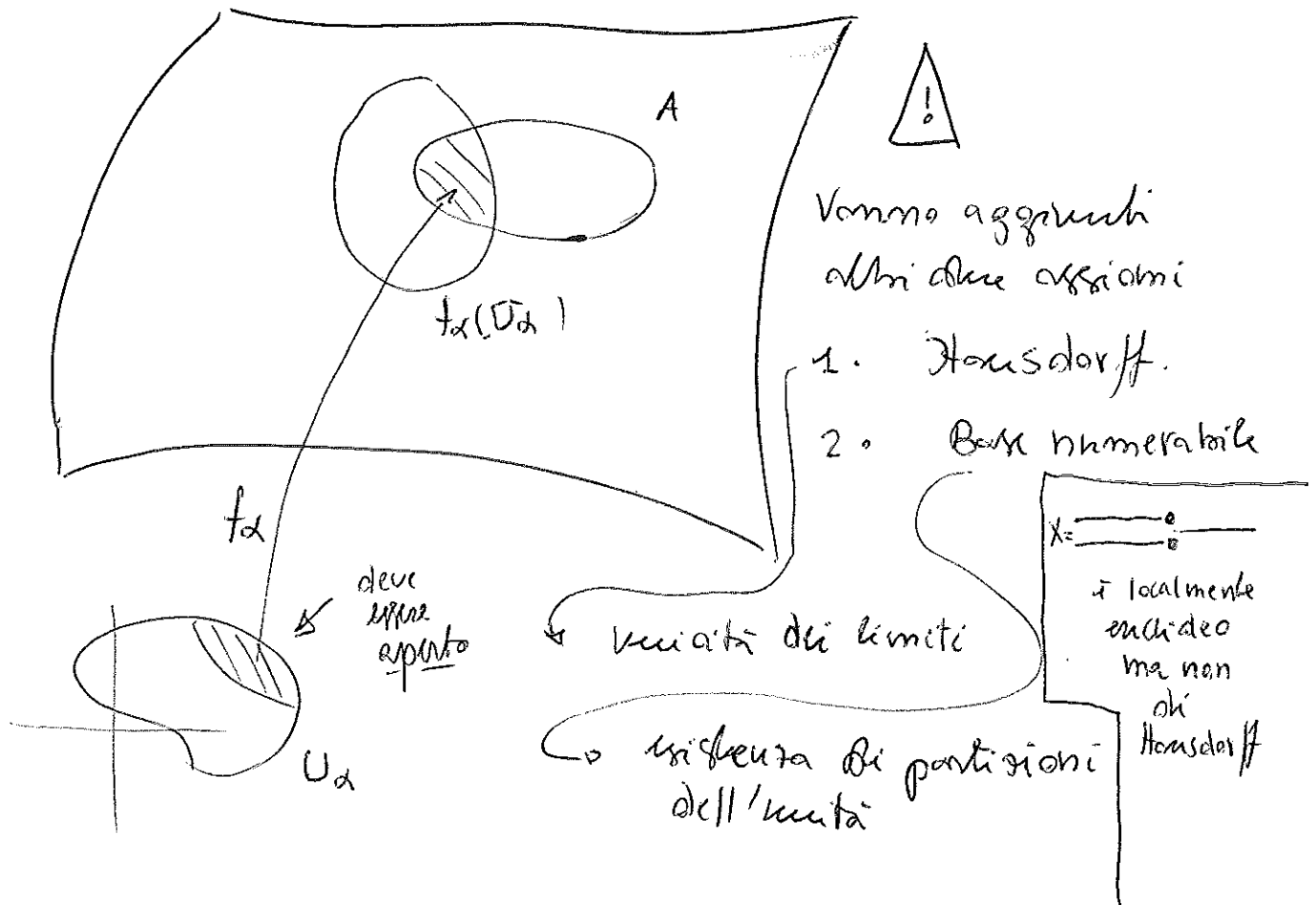


Daremo anche una definizione alternativa
equivalente.

Resta da individuare una topologia su M

$A \subset M$ aperto se $f_\alpha^{-1}(A \cap f_\alpha(U_\alpha))$

τ aperto su \mathbb{R}^n . Ennio: dim. che la def.
 τ ben posta.



Qualche dettaglio

$$\phi \text{ \u00e9 aperto } \quad ; \quad f_{\alpha}^{-1}(\underbrace{\phi \cap f_{\alpha}(U_{\alpha})}_{\phi}) = \phi \quad \text{aperto in } \mathbb{R}^n \quad \forall \alpha$$

$\phi \in \mathcal{C}$

$$M \text{ \u00e9 aperto } \quad f_{\alpha}^{-1}(M \cap f_{\alpha}(U_{\alpha})) = f_{\alpha}^{-1}(f_{\alpha}(U_{\alpha})) = U_{\alpha} \quad \text{aperto in } \mathbb{R}^n$$

$\in \mathcal{C}$

$$\begin{aligned} \bigcup_i A_i \text{ aperto} & \quad f_{\alpha}^{-1}(\bigcup_i A_i \cap f_{\alpha}(U_{\alpha})) \\ \in \mathcal{C} & \quad = f_{\alpha}^{-1}(\bigcup_i (A_i \cap f_{\alpha}(U_{\alpha}))) \\ & \quad = \bigcup_i \underbrace{f_{\alpha}^{-1}(A_i \cap f_{\alpha}(U_{\alpha}))}_{\text{aperto } \forall \alpha} \Rightarrow \text{\u00e9 aperto } \forall \alpha. \end{aligned}$$

$$\begin{aligned} A_1 \cap A_2 \text{ aperto} & \quad f_{\alpha}^{-1}(A_1 \cap A_2 \cap f_{\alpha}(U_{\alpha})) = \\ \in \mathcal{C} & \quad = f_{\alpha}^{-1}((A_1 \cap f_{\alpha}(U_{\alpha})) \cap (A_2 \cap f_{\alpha}(U_{\alpha}))) \\ & \quad = \underbrace{f_{\alpha}^{-1}(A_1 \cap f_{\alpha}(U_{\alpha}))}_{\text{aperto}} \cap \underbrace{f_{\alpha}^{-1}(A_2 \cap f_{\alpha}(U_{\alpha}))}_{\text{aperto}} \Rightarrow \text{\u00e9 aperto} \end{aligned}$$

\u2666 \u2666 \u2666

Vediamo ora una costruzione alternativa, ma equivalente

* Varietà topologiche

uno spazio topologico M
 è detta varietà topologica
 di dimensione n
 (topological n -manifold) se

1. M è di Hausdorff.
2. M è a base numerabile
countable bases
 second countable

3. M è localmente euclideo :
 locally Euclidean

$\forall m \in M, \exists U \ni m,$
intorno
 neighborhood

[Intorno di x :
 aperto $\ni x$]

$$V \subset \mathbb{R}^n$$

n fisso, i.e. indipendente
 fixed da m

e $\varphi: U \rightarrow V$ omeomorfismo
 (Carta locale)
 local chart

ovvero: ogni pto di M ammette
 un intorno omeomorfo ad un aperto
 di \mathbb{R}^n ; senza perdere in generalità,
 si può considerare un disco (palla)
 n -dimensionale

Nota storica: la spinta
 principale della costruzione
 della geometria differenziale
 è venuta dal Theorem egregium
 di Gauss (1829) \rightarrow
 \rightarrow Dissertazione di Riemann
 (1854)

$\mathcal{B} \subset \mathcal{C} \neq \emptyset$ base
 se $\forall A \in \mathcal{C}, A = \bigcup_{\alpha} B_{\alpha}$

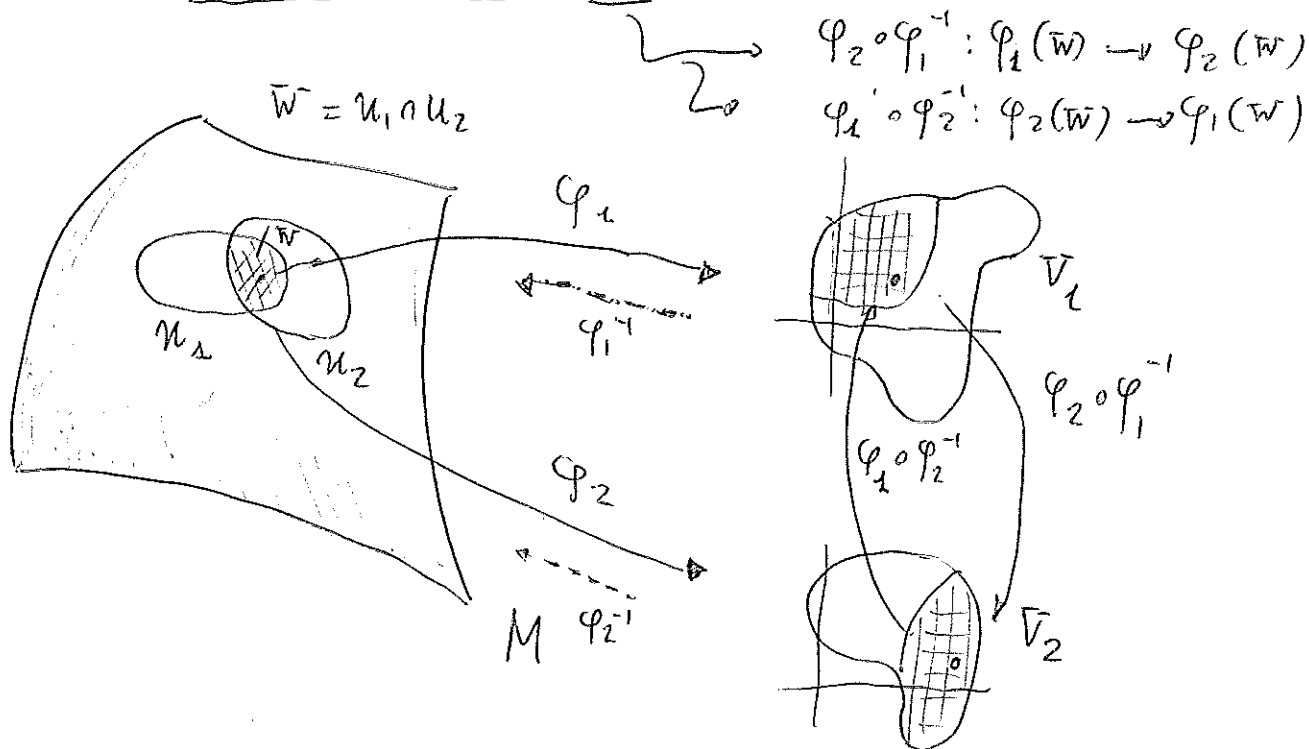
ex: in \mathbb{R}^n , i dischi aperti
 di centri a coord. razionali
 e raggi razionali danno
 vita (give rise) ad una
 base numerabile

Osserviamo che, se $B_1 \in \mathcal{B}$
 $B_2 \in \mathcal{B}$, $B_1 \cap B_2 \in \mathcal{C}$
 ed esiste allora
 $B \in \mathcal{B}$ tale che
 $B \subset B_1 \cap B_2$
 $(B_1 \cap B_2 = \bigcup_{\alpha} B_{\alpha} \text{ opp.})$.

DATA, su un insieme
 X qualsiasi, una famiglia
 \mathcal{B} di s.insiemi di X
 contenente \emptyset e X e tale
 $\bigcup_{B \in \mathcal{B}} B = X$ e che $\forall B_1, B_2 \in \mathcal{B}$
 $\exists B \in \mathcal{B}$
 $B \subset B_1 \cap B_2, \exists!$
 topologia su X tale
 che \mathcal{B} ne sia una base:

\mathcal{C} si ottiene prendendolo come aperto
 e unioni di insiemi di \mathcal{B} .

Per avere una varietà differenziabile, si richiede che i cambiamenti di carta siano lisci:



una varietà differenziabile M è dunque uno spazio topologico di Hausdorff, a base numerabile, provvisto di un atlante $\left\{ (U_\alpha, \varphi_\alpha) \right\}_{\alpha \in \mathcal{A}}$ ^{aperti}
carte locali insieme di indici

ove $\bigcup_{\alpha \in \mathcal{A}} U_\alpha = M$ [i.e. $\{U_\alpha\}$ è un ricoprimento (aperto) di M]

$\varphi_\alpha : U_\alpha \rightarrow V_\alpha$ omeomorfismo aperto di \mathbb{R}^n

e se $U_\alpha \cap U_\beta \equiv \bar{W}_{\alpha\beta} \neq \emptyset$

$\varphi_\beta \circ \varphi_\alpha^{-1} : \varphi_\alpha(\bar{W}_{\alpha\beta}) \rightarrow \varphi_\beta(\bar{W}_{\alpha\beta})$ è liscia

$\varphi_\alpha \circ \varphi_\beta^{-1} : \varphi_\beta(\bar{W}_{\alpha\beta}) \rightarrow \varphi_\alpha(\bar{W}_{\alpha\beta})$ è liscia

* L'atlante si considera massimale :

data $\varphi: U \rightarrow V$

con $\varphi \circ \varphi_\alpha^{-1}$, $\varphi_\alpha \circ \varphi^{-1}$ } lisce, i.e. (U, φ) compatibile con $(U_\alpha, \varphi_\alpha)$

allora $\varphi = \varphi_\beta$ per qualche $\beta \in \mathcal{A}$

Due atlanti si dicono compatibili (o equivalenti), se la loro unione è nuovamente un atlante.

|| un atlante massimale è l'unione di tutti gli atlanti compatibili con un atlante fissato.

In modo ancora più formale, una varietà diff. di dimensione n è

$(M, [\Phi])$
 " sp. top. di Hausdorff localmente euclideo
 atlante (massimale) classe di equivalenza individuata da un atlante massimale

Equivalentemente si dice M possiede una struttura di varietà differenziabile (di classe C^k) se ecc...
 (o struttura liscia, nel caso C^∞)

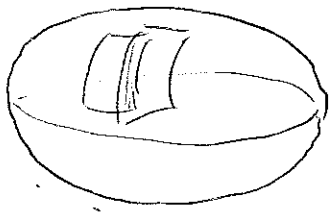
$\mathbb{C}^n \rightarrow$ varietà analitica reale

f. analitiche

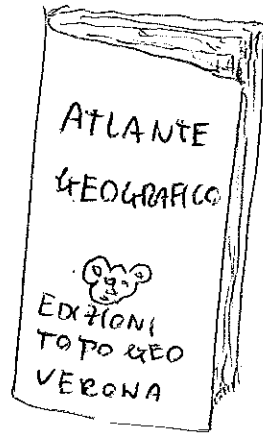
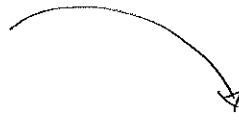
se \mathbb{C}^n sostituisce \mathbb{R}^n e si richiede l'olomorfia

(i.e. analiticità complessa), si ha la nozione di varietà complessa di dim n . se $n=1$ si parla di superficie di Riemann

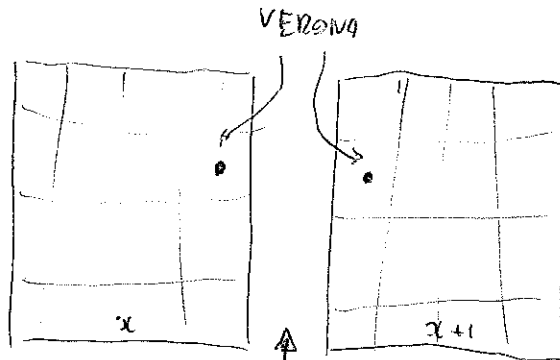
Motivazioni:



ellissoide terrestre
(eccentricità accentuata!!)

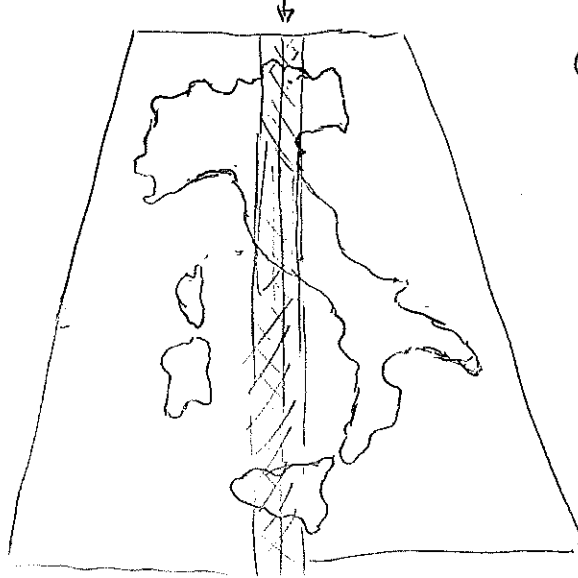


Non è ovviamente
massimale



x stato calcolato su
cambiamento di carta,
"invisibile" all'... utilizzatore finale.

zona di sovrapposizione

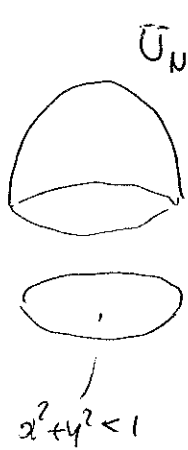


Carta d'Italia
di Gauss-Boga

$$S^2 = \{x^2 + y^2 + z^2 = 1\}$$

topologia relativa
(involta da \mathbb{R}^3)

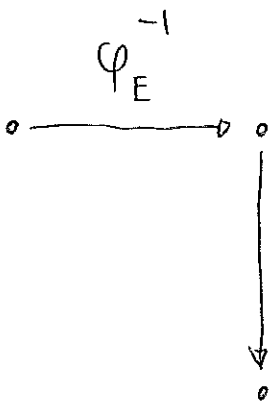
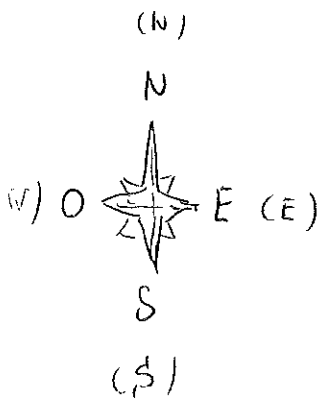
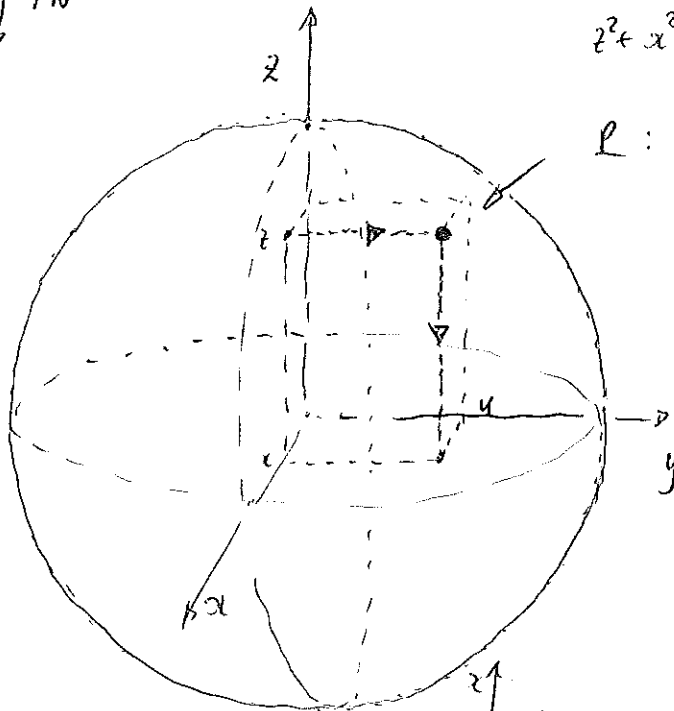
aperti



$$z^2 + x^2 < 1$$

$$L: (x, y, z)$$

$$\cap U_N \cap U_E$$



$$(z, x) \xrightarrow{\varphi_E^{-1}} (x, y, z)$$

$$(x, y, z) \xrightarrow{\varphi_N} (x, y, 0) \quad \begin{matrix} \uparrow y \\ \rightarrow x \end{matrix}$$

$$(z, x) \xrightarrow{\varphi_N \circ \varphi_E^{-1}} (x, \sqrt{1 - z^2 - x^2})$$

tale applicazione
è liscia, con inversa
($\varphi_E \circ \varphi_N^{-1}$) liscia